

**PENGARUH DIET TINGGI FRUKTOSA RENDAH MAGNESIUM
TERHADAP HISTOPATOLOGIS HEPAR TIKUS GALUR WISTAR**



ERVIANTI DELA ROSA

2443010136

**PROGRAM STUDI S1
FAKULTAS FARMASI**

UNIVERSITAS KATOLIK WIDYA MANDALA SURABAYA

2014

**PENGARUH DIET TINGGI FRUKTOSA RENDAH MAGNESIUM
TERHADAP HISTOPATOLOGIS HEPAR TIKUS GALUR WISTAR**

SKRIPSI

Diajukan untuk memenuhi sebagian persyaratan
memperoleh gelar Sarjana Farmasi Program Studi Strata 1
di Fakultas Farmasi Unika Widya Mandala Surabaya

OLEH:
ERVIANTI DELA ROSA
2443010136

Telah disetujui pada tanggal 16 Januari 2014 dan dinyatakan LULUS

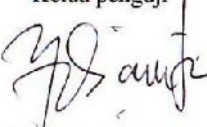
Pembimbing I,


Wahyu Dewi T., M.Si., Apt
NIK. 241.04.0574

Pembimbing II,


Dr. Ratna Megawati W., SKG., MFT
NIK. 241.10.0674

Mengetahui,
Ketua penguji


(Bernadette Dian Novita., dr., Mked)
NIK. 151.10.0658

**LEMBAR PERSETUJUAN
PUBLIKASI KARYA ILMIAH**

Demi perkembangan ilmu pengetahuan, saya menyetujui skripsi/karya ilmiah saya, dengan judul : **Pengaruh Diet Tinggi Fruktosa Rendah Magnesium terhadap Histopatologis Hepar Tikus Galur Wistar** untuk dipublikasikan atau ditampilkan di internet atau media lain yaitu *Digital Library* Perpustakaan Unika Widya Mandala Surabaya untuk kepentingan akademik sebatas sesuai dengan Undang-Undang Hak Cipta.

Demikian pernyataan persetujuan publikasi karya ilmiah ini saya buat dengan sebenarnya.

Surabaya, 16 Januari 2014



Ervianti Dela Rosa
2443010136

Saya menyatakan dengan sesungguhnya bahwa hasil tugas akhir ini
adalah benar-benar merupakan hasil karya saya sendiri.
Apabila di kemudian hari diketahui bahwa skripsi ini
merupakan hasil plagiarisme, maka saya bersedia
menerima sangsi berupa pembatalan kelulusan
dan atau pencabutan gelar yang saya peroleh.

Surabaya, 16 Januari 2014



ABSTRAK

PENGARUH DIET TINGGI FRUKTOSA RENDAH MAGNESIUM TERHADAP HISTOPATOLOGIS HEPAR TIKUS GALUR WISTAR

Ervianti Dela Rosa
2443010136

Fruktosa dalam diet dapat menginduksi *de novo lipogenesis* (DNL) membentuk trigliserida dan VLDL, meningkatkan penimbunan lemak di hepar yang menyebabkan resistensi insulin. Penelitian ini dilakukan bertujuan untuk melihat gambaran histopatologi hepar yang mengalami nekrosis dan apoptosis dengan melihat peningkatan ekspresi p53 dalam pengaruh diet tinggi fruktosa rendah magnesium. Pada penelitian ini digunakan tikus jantan galur *Wistar* (*Rattus norvegicus*) sebanyak 32 ekor yang dibagi dalam 4 kelompok yaitu kelompok kontrol, kelompok P1 (diet tinggi fruktosa), kelompok P2 (diet rendah magnesium), dan kelompok P3 (tinggi fruktosa rendah magnesium). Data yang diperoleh berupa persentase sel nekrosis yang diolah secara statistik dengan uji *One-Way Anova* yang dilanjutkan dengan uji Duncan. Hasil penelitian menunjukkan bahwa persentase jumlah sel yang mengalami nekrosis pada kelompok P1 sebesar 27,36%, kelompok P2 sebesar 13,73% pada kelompok P3 sebesar 37,48%. Pada pengamatan ekspresi p53 pada sel hepar tidak diperoleh hasil yang positif sehingga jumlah sel yang mengalami apoptosis tidak dapat dihitung. Oleh sebab itu, ditarik suatu kesimpulan bahwa diet tinggi fruktosa rendah magnesium dapat menyebabkan peningkatan jumlah sel yang mengalami nekrosis pada sel hepar jika dibandingkan dengan kelompok kontrol.

Kata kunci: Diet tinggi fruktosa rendah magnesium, nekrosis sel hepar, p53.

ABSTRACT

EFFECT OF HIGH FRUCTOSE AND LOW MAGNESIUM DIETARY ON HISTOPATHOLOGIC LIVER CELLS OF WISTAR RATS

Ervianti Dela Rosa
2443010136

Fructose in the diet induces de novo lipogenesis (DNL) to form triglycerides and VLDL, increase fat storage in hepar causing insulin resistance. This research was aimed to evaluate hepatic histopathology by increased number of cells underwent necrosis and apoptosis with the increased expression of p53 caused by high fructose and low magnesium diet. In this study, 32 male *Wistar* rats (*Rattus norvegicus*) were used. The rats were divided into 4 groups: control group, P1 group (high fructose diet), P2 group (low magnesium diet), and P3 group (high fructose and low magnesium diet). Statistical analysis of the data was performed by *One-Way Anova* and *Duncan* test. The results showed the percentage of necrosis cells were 27,36%; 13,73%; 37,48% in group P1, P2, and P3 respectively. The observation of p53 expression in liver cells did not show positive result therefore the number of cells underwent apoptosis could not be calculated. In conclusion, a low magnesium diet and high in fructose can lead to increase of liver necrotic cells when compared to the control group.

Keywords: High fructose and low magnesium diet, necrosis liver cells, p53.

KATA PENGANTAR

Puji syukur penulis panjatkan kepada Tuhan Yang Maha Esa yang telah memberikan rahmat dan karunianya, sehingga skripsi dengan judul **Pengaruh Diet Tinggi Fruktosa Rendah Magnesium terhadap Histopatologis Hepar Tikus Galur Wistar** dapat terselesaikan. Penyusunan skripsi ini dimaksudkan untuk memenuhi persyaratan untuk memperoleh gelar Sarjana Farmasi di Fakultas Farmasi Universitas Katolik Widya Mandala Surabaya.

Penulis mengucapkan terima kasih kepada pihak-pihak yang telah membantu selama proses pembuatan naskah skripsi ini:

1. Drs. Kuncoro Foe, G.Dip.Sc., Ph.D., Apt, selaku Rektor Universitas Katolik Widya Mandala Surabaya, atas kesempatan yang diberikan untuk menempuh pendidikan di Fakultas Farmasi Universitas Katolik Widya Mandala Surabaya;
2. Martha Ervina, M.Si., Apt., selaku Dekan Fakultas Farmasi Universitas Katolik Widya Mandala Surabaya yang telah memberikan fasilitas dan bantuan dalam penyusunan naskah skripsi ini;
3. Sumi Wijaya, S.Si., Ph.D., Apt selaku Ketua Program Studi Strata 1 Fakultas Farmasi Universitas Katolik Widya Mandala Surabaya yang telah memberikan bantuan dan memfasilitasi dalam penyusunan naskah skripsi ini;
4. Wahyu Dewi Tamayanti., M.Si., Apt dan Dr. Ratna Megawati Widharna., SKG., MFT selaku pembimbing I dan pembimbing II yang telah bersedia meluangkan waktu, tenaga untuk membimbing serta membantu dalam penyelesaian naskah skripsi ini;

5. Bernadette Dian Novita., dr., M.Ked dan Imelda Theodora, dr., Sp.PA selaku tim penguji yang telah banyak memberikan masukan dan saran sehingga naskah skripsi ini dapat selesai;
6. Stephanie Devi Artemisia, M.Si., Apt., selaku penasehat akademik yang telah untuk memberikan bimbingan dan pengarahan selama menempuh pendidikan di Fakultas Farmasi Universitas Katolik Widya Mandala Surabaya;
7. Dr. Iwan Sahrial Hamid, drh., M.Si., yang telah meluangkan waktunya dan banyak membantu dalam memberikan masukan dan informasi dalam penyelesaian naskah skripsi ini;
8. RSU. Dr Sutomo khususnya laboratorium imunohistokimia yang telah membantu proses menjalankan penelitian skripsi ini dalam pembuatan preparat histologi organ;
9. Laboran laboratorium kimia klinik dan laboratorium botani farmasi yang membantu dalam memfasilitasi sehingga penelitian yang dilakukan dapat berjalan dengan baik;
10. Mama saya Herlin Natalie dan papa saya Eddy Lie yang tercinta serta keluarga yang telah mendukung baik dalam doa, materi maupun mental, memotivasi serta memberi semangat agar kami dapat menyelesaikan program studi sarjana ini;
11. Regina Carlosono sebagai teman yang telah berjuang bersama-sama dalam menjalankan skripsi ini hingga selesai;
12. HUTRI, ORSHY, ACI, IREN, RENIJUFTARI, PUTRI serta teman – teman yang telah memberikan semangat, motivasi, dukungan sehingga dapat menyelesaikan skripsi ini;
13. Serta semua pihak yang tidak dapat penulis sebutkan satu persatu yang telah memberikan bantuan baik secara langsung maupun tidak langsung dalam menyusun skripsi ini.

Dengan keterbatasan pengalaman, pengetahuan maupun pustaka yang ditinjau, penulis menyadari kekurangan dalam penulisan naskah Skripsi ini. Akhir kata penulis sangat mengharapkan kritik dan saran agar naskah skripsi ini dapat lebih disempurnakan.

Surabaya, Desember 2013

Penulis

DAFTAR ISI

| | Halaman |
|---|---------|
| ABSTRAK | i |
| ABSTRACT | ii |
| KATA PENGANTAR | iii |
| DAFTAR ISI | vi |
| DAFTAR TABEL | ix |
| DAFTAR GAMBAR | x |
| DAFTAR LAMPIRAN..... | xii |
| DAFTAR SINGKATAN | xiii |
| BAB | |
| 1 PENDAHULUAN | 1 |
| 1.1. Latar Belakang | 1 |
| 1.2. Rumusan masalah..... | 8 |
| 1.3. Tujuan penelitian..... | 8 |
| 1.4. Hipotesis..... | 8 |
| 1.5. Manfaat penelitian..... | 9 |
| 1.6. Kerangka teoritis | 10 |
| 2 TINJAUAN PUSTAKA | 11 |
| 1.1 Fruktosa | 11 |
| 2.1.1. Absorpsi fruktosa | 12 |
| 2.1.2. Metabolisme fruktosa..... | 13 |
| 2.1.3. Pengaruh fruktosa terhadap berbagai organ..... | 18 |
| 2.1 Magnesium | 20 |
| 2.2 Hepar | 23 |
| 2.3.1. Anatomi hepar..... | 24 |
| 2.3.2. Fisiologi hepar | 25 |

| | |
|--|-----------|
| 2.3.3. Histologi hepar..... | 26 |
| 2.3.4. Patologi hepar | 31 |
| 2.3 p53 | 36 |
| 2.4 Pewarnaan Hematoksilin-eosin..... | 40 |
| 2.5 Kerangka konsep..... | 42 |
| 3 METODE PENELITIAN | 43 |
| 3.1 Jenis penelitian | 43 |
| 3.2 Bahan dan alat..... | 43 |
| 3.2.1. Bahan | 43 |
| 3.2.2. Alat | 43 |
| 3.3 Sampel penelitian | 44 |
| 3.3.1. Hewan penelitian | 44 |
| 3.3.2. Besar sampel | 45 |
| 3.3.3. Kriteria inklusi | 45 |
| 3.3.4. Kriteria eksklusi | 46 |
| 3.3.5. Skema kerja perlakuan hewan coba | 46 |
| 3.3.6. Pakan tikus..... | 46 |
| 3.3.7. Skema kerja pembuatan larutan fruktosa 60% | 46 |
| 3.3.8. Komposisi mineral magnesium (premix)..... | 47 |
| 3.3.9. Skema kerja pembuatan larutan premix 3,3% | 47 |
| 3.4 Tahapan penelitian | 48 |
| 3.4.1. Proses pembedahan dan pengambilan organ (hepar) | 48 |
| 3.4.2. Skema kerja proses pembedahan dan pengambilan organ (hepar)..... | 48 |
| 3.4.3. Skema kerja pembuatan preparat histologi dan pewarnaan HE | 49 |
| 3.4.4. Skema kerja imunohistokimia (IHK)..... | 50 |

| | |
|---|-----------|
| 3.5 Pengamatan makroskopis hepar | 51 |
| 3.5 Pengamatan mikroskopis hepar | 51 |
| 3.6 Pengolahan dan analisis data | 52 |
| 4 HASIL DAN PEMBAHASAN..... | 54 |
| 4.1 Hasil penelitian | 54 |
| 4.1.1. Karakteristik Sampel..... | 54 |
| 4.1.2. Hasil pengamatan nekrosis sel hepar | 55 |
| 4.1.3. Gambaran mikroskopis pengamatan nekrosis sel hepar | 60 |
| 4.1.4. Gambaran mikroskopis pengamatan apoptosis sel hepar | 61 |
| 4.2 Pembahasan | 62 |
| 5 SIMPULAN DAN SARAN | 68 |
| 5.1 Simpulan | 68 |
| 5.2 Saran | 68 |
| DAFTAR PUSTAKA | 69 |
| LAMPIRAN | 76 |

DAFTAR TABEL

| Tabel | Halaman |
|---|---------|
| 2.1. Rekomendasi diet magnesium untuk anak dan dewasa | 21 |
| 3.1. Komposisi pakan Br1 | 46 |
| 3.2. Komposisi premix..... | 47 |
| 3.3. Skor perubahan gambaran makroskopis hati | 51 |
| 3.4. Skor perubahan gambaran histopatologi hati berdasarkan adanya nekrosis..... | 52 |
| 3.5. Skor perubahan gambaran histopatologi hati berdasarkan adanya apoptosis..... | 52 |
| 4.1. Hasil uji homogenitas varians berat badan tikus dengan uji Levene | 55 |
| 4.2. Persentase sel hepar yang mengalami nekrosis..... | 56 |
| 4.3. Hasil uji distribusi data nekrosis sel hepar dengan uji <i>Kolmogorov-Smirnov</i> | 56 |
| 4.4. Hasil uji homogenitas varians persen nekrosis sel hepar dengan uji Levene..... | 57 |
| 4.5. Hasil uji statistik persentase nekrosis sel hepar dengan Duncan | 57 |
| 4.6. Odds ratio tinggi fruktosa terhadap kontrol | 58 |
| 4.7. Odds ratio rendah magnesium terhadap kontrol | 59 |
| 4.8. Odds ratio tinggi fruktosa rendah magnesium terhadap kontrol | 59 |

DAFTAR GAMBAR

| Gambar | Halaman |
|---|---------|
| 2.1. Struktur fruktosa | 11 |
| 2.2. Absorpsi glukosa dan fruktosa pada sel epitel intetinal | 13 |
| 2.3. Jalur metabolisme glukosa dan fruktosa hepatic..... | 16 |
| 2.4. Mekanisme fruktosa menginduksi resistensi insulin..... | 18 |
| 2.5. Efek fruktosa terhadap otak, hepar, pembuluh darah, ginjal dan sel adiposit..... | 20 |
| 2.6. Histologi hati | 27 |
| 2.7. Portal canal : Gambaran portal canal (triad portal) pada lobus hepar..... | 28 |
| 2.8. Gambaran struktur hati | 31 |
| 2.9. Gambaran mikroskopis sel hepar dengan pewarnaan HE..... | 33 |
| 2.10. Perbedaan proses apoptosis dan nekrosis pada sel..... | 35 |
| 2.11. Skema mekanisme apoptosis pada jalur intrinsik dan ekstrinsik | 39 |
| 2.12. Gambaran mikroskopis sel hepar dengan pewarnaan IHC | 40 |
| 2.13. Gambaran mikroskopis sel hepar dengan menggunakan pewarnaan HE pada perbesaran 400x | 41 |
| 3.1. Skema kerja perlakuan hewan coba..... | 46 |
| 3.2. Skema kerja pembuatan larutan fruktosa 60% | 46 |
| 3.3. Skema kerja pembuatan larutan premix 3,3% | 47 |
| 3.4. Skema proses pembedahan dan pengambilan organ..... | 48 |
| 3.5. Skema kerja pembuatan preparat histologi dan pewarnaan histologi hepar | 49 |
| 3.6. Skema kerja imunohistokimia (IHK)..... | 50 |
| 4.1. Diagram batang peningkatan berat badan tikus putih jantan (<i>Rattus</i> | |

| | |
|---|----|
| <i>Norvegicus strain Wistar)</i> | 54 |
| 4.2. Gambaran mikroskopis sel hepar dengan menggunakan pewarnaan Hematoksilin-eosin pada perbesaran 400x | 60 |
| 4.2. Gambaran mikroskopis sel hepar pewarnaan IHK dengan menggunakan p53 pada perbesaran 400x | 61 |

DAFTAR LAMPIRAN

| Lampiran | Halaman |
|---|---------|
| A KETERANGAN ETHICAL CLEARENCE | 76 |
| B SURAT SERTIFIKAT TIKUS PUTIH JANTAN | 77 |
| C CARA PERHITUNGAN PERSEN NEKROSIS SEL HEPAR | 78 |
| D DATA PERHITUNGAN PENINGKATAN BERAT BADAN TIKUS..... | 79 |
| E HASIL STATISTIK LEVENE HOMOGENITAS VARIANS DATA BERAT BADAN TIKUS..... | 81 |
| F DATA PENELITIAN PERSENTASE NEKROSIS SEL HEPAR..... | 82 |
| G PERHITUNGAN RATIO PENINGKATAN PERSEN NEKROSIS | 83 |
| H HASIL STATISTIK KOLMOGOROV-SMIRNOV DISTRIBUSI DATA NORMAL NEKROSIS SEL HEPAR | 84 |
| I HASIL STATISTIK ANOVA NEKROSIS SEL HEPAR | 85 |
| J GAMBARAN MIKROSKOPIS NEKROSIS SEL HEPAR | 87 |
| K GAMBARAN MIKROSKOPIS APOPTOSIS SEL HEPAR | 91 |

DAFTAR SINGKATAN

| | |
|------------|--|
| ADP | : adenosin difosfat |
| AGES | : <i>advanced glycation end products</i> |
| AMP | : adenosin monofosfat |
| Apaf-1 | : apoptosis <i>activating factor-1</i> |
| APO-1 | : apoptosis antigen-1 |
| Asetil-CoA | : asetil-koenzim A |
| Asil-CoA | : asil-koenzim A |
| ATM | : <i>ataxia telangiectasia mutated</i> |
| ATP | : adenosin tri fosfat |
| ATR | : <i>ataxia telangiectasia related</i> |
| Bax | : <i>Bcl2 associated x protein</i> |
| Bcl-2 | : <i>B-cell lymphoma 2</i> |
| Ca | : kalsium |
| CDK | : <i>cyclin Dependent Kinase</i> |
| Chk | : <i>checkpoint</i> |
| Cu | : cuprum |
| DAG | : diasilglicerol |
| DHAP | : dihidroksiaseton fosfat |
| DNA | : <i>deoxyribonucleic acid</i> |
| DNL | : <i>de novo lipogenesis</i> |
| DR | : <i>death receptor</i> |
| E2F | : <i>E2 factor</i> |
| FADD | : <i>fas-associative death domain</i> |
| Fase G | : fase gap |
| Fase M | : fase mitosis |
| Fase S | : fase sintesis |

| | |
|-------|---|
| Fe | : <i>ferrum</i> |
| GLUT | : glukosa transporter |
| HDL | : <i>high density lipoprotein</i> |
| HE | : hematoksilin-eosin |
| HFCS | : <i>high fructose corn syrup</i> |
| IHK | : imunohistokimia |
| IMP | : inosin monofosfat |
| IP3 | : inositol 1,4,5-trifosfat |
| kb | : kilobasa |
| kD | : kilodalton |
| KHK | : ketoheksokinase |
| Mdm2 | : <i>murine double minute 2</i> |
| Mg | : magnesium |
| mRNA | : <i>messenger Ribosine Nuleic Acids</i> |
| MTP | : <i>microsomal triglyceride transfer protein</i> |
| Na | : sodium |
| NAD | : <i>nicotinamide Adenine Dinukleotide</i> |
| NADH | : nikotinamid adenin dinukleotida |
| NAFLD | : <i>nonalcoholic Fatty Liver Disease</i> |
| NO | : nitrik oksida |
| Pi | : fosfat |
| PKC | : protein kinase C |
| pRb | : protein retinoblastoma |
| p53 | : protein 53 |
| ROS | : <i>reactive oxygen species</i> |
| SGLUT | : sodium glukosa transporter |
| TGRLP | : lipoprotein trigliserida |

TNF : *tumor necrotic factor*

VLDL : *very low density lipoprotein*

